

ОБЪЕДИНЕНИЙ
ИНСТИТУТ
ЯДЕРНЫХ
ИССЛЕДОВАНИЙ
ДУБНА



СЗ438

А-17

2685/2-73

23/и. 5

P15 - 7128

М.Абузейд, Ким Сын Нам, Г.М.Осетинский,
Я.Тыкэ, Б.Фрыщин

ИССЛЕДОВАНИЕ РЕАКЦИИ ^{15}N (t, α) ^{14}C

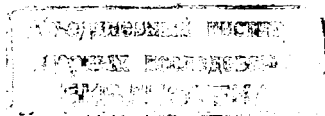
1973

ЛАБОРАТОРИЯ НЕЙТРОННОЙ ФИЗИКИ

P15 - 7128

М.Абузейд, Ким Сын Нам, Г.М.Осетинский,
Я.Тыкэ, Б.Фрыщин

ИССЛЕДОВАНИЕ РЕАКЦИИ ^{15}N (t, α) ^{14}C



Настоящая работа выполнена с целью исследования механизма реакции, определения дифференциальных и полных сечений реакции $^{15}N(\nu, \alpha_0) ^{14}C$, $^{15}N(\nu, \alpha_1) ^{14}C^*$. В задачу эксперимента также входило исследование функции возбуждения этих реакций с целью обнаружения резонансных уровней ядра ^{18}O в доступном для нас интервале энергий возбуждения 16,5 - 17,2 Мэв. До настоящей работы этот интервал энергий возбуждения для указанного ядра мало исследовался. Полученные данные по дифференциальным сечениям представляют дополнительный интерес в связи с проводимым нами в настоящий момент исследованием реакции $^{15}N(^3He, \alpha_1) ^{14}N^*$. Получающиеся в результате этих реакций конечные ядра ^{14}C и $^{14}N^*$ принадлежат одному мультиплету по изотопическому спину, в связи с чем определение отношения дифференциальных сечений этих реакций поможет дать сведения о степени сохранения изотопического спина.

Методика эксперимента

Работа выполнялась на электростатическом генераторе ЭГ-2 ОИЯИ. Схема опыта представлена на рис. 1. Ионы трития, ускоренные на ЭГ и проанализированные по импульсам магнитным анализатором, пройдя коллиматор длиной 100 мм, диаметром 2 мм, попадали на газовую мишень, установленную в центре камеры реакции.

В работе использовались газовые мишени двух типов: "длинная" - для абсолютных измерений дифференциальных сечений, и "точечная" - для измерений угловых распределений. Мишень наполнялась азотом с концентрацией ^{15}N - 99,2% до давления 30-35 мм. рт.ст. Давление измерялось микроманометром с погрешностью $\pm 0,5\%$. Конструкция камеры и мишени описана ранее /1/.

При измерении абсолютных значений дифференциальных сечений продукты реакции детектировались кремниевым поверхностно-барьерным детектором, установленным под соответствующим углом. Измерение угловых распределений осуществлялось двумя кремниевыми поверхностно-барьерными детекторами. Один из них, неподвижный, устанавливался под углом 45° к пучку и являлся монитором. Другой детектор располагался на кронштейне, который мог устанавливаться под различными углами в интервале углов $0 - 155^\circ$. Энергетическое разрешение обоих детекторов составляло 25 - 30 кэв по α -частицам ^{238}Pu . Импульсы от детекторов усиливались малошумящими усилителями и детектировались 128-канальным амплитудным анализатором. Для уменьшения ошибок просчетов импульсы от основного детектора и детектора монитора с помощью электронной схемы направлялись на один и тот же 128-канальный анализатор импульсов. Блок-схема устройства представлена на рис. 1.

Информация по дифференциальным сечениям и угловым распределениям извлекалась из определения площади энергетических спектров α -частиц, измеренных при различных углах и энергиях. Для исключения попадания в детектор тритонов, упруго-рассеянных на ядрах ^{15}N и фольге мишени /в случае использования точечной мишени/ между мишенью и детектором помещалась алюминиевая фольга. Толщина подбиралась минимально необходимой для надежного поглощения падающего пучка тритонов.

Результаты измерений

Абсолютные измерения дифференциальных сечений под углами 45° , 90° проводились на "длинной" газовой мишени через интервалы энергий 20 кэв. Для исключения ошибок, связанных с определением геометрического фактора, чистоты пучка, выход α -частиц из реакции нормировался по выходу α -частиц реакции $D(t, \alpha)_n$ ^{1/2}.

В таблице 1 представлены ошибки эксперимента.

Таблица I

Ошибки эксперимента	Реакции							
	$^{15}N(t, \alpha_0)^{1/4} C$		$^{15}N(t, \alpha_1)^{1/4} C^*$					
1. Определение выхода реакции	1,5% при $E_t = 1,02$ Мэв 8% при $E_t = 0,86$ Мэв	2,5% при $E_t = 1,62$ Мэв 10% при $E_t = 0,86$ Мэв						
с учетом фона								
2. Определение числа атомов ^{15}N в мишени	0,5%		0,5%					
3. Определение числа частиц, падающих на мишень	1%		1%					
4. Определение числа атомов D_2 в мишени	1%		1%					
5. Сечение реакции $D(t, \alpha)_n / 2 /$	2,5%		2,5%					
6. Статистическая ошибка при определении выхода реакции $D(t, \alpha)_n$	1%		1%					
7. Полная квадратичная ошибка определения дифференциальных сечений	3,5% при $E_t = 1,62$ Мэв 9% при $E_t = 0,86$ Мэв	4% при $E_t = 1,62$ Мэв 10% при $E_t = 0,86$ Мэв	1%					

Таблица II

$E, \text{ Мэв}$	1,16	1,19	1,29	1,37	1,45
$\sigma_t, \text{ мбарн}$	3,8	4,65	9,67	13,4	17,6
$\pm \Delta \sigma_t, \text{ мбарн}$	0,2	0,16	0,4	0,4	0,5

Ошибка в определении энергии тритонов в центре мишени находится в пределах 2,5-1,5% при энергиях 0,82-1,62 Мэв соответственно. Разброс по энергиям тритонов во входном окошке мишени - не более 20 кэв.

На рис. 2 и 3 представлены дифференциальные сечения реакции для каналов a_0 и a_1 , измеренных под углами 45° , 90° в л.с. Ошибки на кривых - статистические.

На рис. 4 представлены результаты измерений угловых распределений для канала a_0 . Измерение проводилось с шагом $5 \div 10$ градусов в диапазоне углов $1,2^\circ \div 155^\circ$ в лабораторной системе координат. Значение минимального эффективного угла, при котором возможны измерения, получено расчетным путем по методу, изложенному в работе /3/. Ошибки каждой точки угловых распределений включают как ошибки в определении выхода реакции, так и ошибки нормировки кривой выхода по известной кривой абсолютных дифференциальных сечений под углом 90° . Их значения при всех энергиях изменились от 4% до 7% при изменении углов от 0° до 155° соответственно /ошибки на графике не указаны/.

Угловые распределения реакции $^{15}\text{N}(t, a_1) ^{14}\text{C}^*$ не измерялись из-за больших погрешностей в определении площади пика a_1 , при малых /0-35°/ и больших /110-135°/ углах. Полные сечения реакции $^{15}\text{N}(t, a_0) ^{14}\text{C}$ представлены в таблице II.

Обсуждение результатов

Как видно из рисунков, дифференциальные сечения реакции $^{15}\text{N}(t, a_0) ^{14}\text{C}$, $^{15}\text{N}(t, a_1) ^{14}\text{C}^*$, измеренные под углами 45° , 90° в интервале энергий 0,82 - 1,62 Мэв, с ростом энергии растут. То же самое можно сказать о кривой полных сечений реакции $^{15}\text{N}(t, a_0) ^{14}\text{C}$. Полные сечения принимают значения $3,8 \pm 0,2$ мбарна при энергии 1,16 Мэв, плавно достигая значений $17,6 \pm 0,5$ мбарн при энергии 1,45 Мэв. Резонансной структуры на кривых возбуждения не наблюдается. Угловые распределения α -частиц реакции $^{15}\text{N}(t, a_1) ^{14}\text{C}$ имеют явно выраженный несимметричный относительно 90° ха-

рактер. Они вытянуты под малыми углами во всем интервале энергий и имеют устойчивый, по форме слабо меняющийся с энергией, характер. Последнее указывает на возможную роль прямого механизма реакции, анализ которого может быть проведен в борновском приближении с искаженными волнами /БПИВ/. Вместе с тем расчет плотности уровней составного ядра ^{18}O , проведенный по формулам работы /4/, показывает, что она достаточно велика /расстояние между уровнями 8-5 кэв при $E_i = 1,0$ и $1,6$ Мэв соответственно/, что указывает на возможность статистического подхода к расчету вклада механизма составного ядра. Этот вклад в сечение реакции рассчитывался по теории Хаузера-Фешбаха.

Предполагая, что сечение реакции является некогерентной суммой вкладов от каждого из указанных механизмов реакции, определение спектроскопического фактора можно провести по формуле вида:

$$\langle \frac{d\sigma(\theta)}{d\Omega} \rangle = N c^2 S_{ej} \sigma_{ej} \text{БПИВ} + H \frac{\lambda^2}{8\pi(2i+1)(2J+1) \Gamma_0 \rho_0} \langle \sigma \rangle_{x-\Phi},$$

где скобки $\langle \rangle$ обозначают усреднение по области энергии ΔE , большей ширины уровней составного ядра, N - константа нормировки, принятая нами,/21/. Эта величина используется для реакции типа ($^3He, a$)/5/. Для реакции типа (t, a) значение N может несколько отличаться, что, однако, не влияет на окончательные выводы нашей работы.

J, i - спины начального ядра и падающей частицы;

S - изоспиновый коэффициент Клебша-Гордона;

S_{ej} - спектроскопический фактор;

БПИВ

$\sigma_{l,i}$ - приведенное дифференциальное сечение реакции прямого подхвата;

H - коэффициент ослабления;

Γ_0, ρ_0 - средняя ширина и плотность уровней со спином O;

$\sigma_{x-\Phi}$ - приведенное дифференциальное сечение, рассчитываемое по теории Хаузера-Фешбаха.

В рамках БПИВ среди различных комбинаций оптических потенциалов в выходном и входном каналах выбиралась такая комбинация, которая дает угловые распределения по форме, самые близкие к экспериментальным. Оптические потенциалы задавались в виде

$$U(r) = U_c(r) - Vf(x) - iWf(x') + V_{s0} \chi_\pi^2 (\vec{e} \vec{\sigma}) \frac{1}{r} \frac{d}{dr} f(x),$$

где

$$f(x) = (1 + e^x)^{-1}$$

$$x = \frac{r - r_0 A^{1/3}}{a}$$

$$f(x') = (1 + e^{x'})^{-1}$$

$$x' = \frac{r - r'_0 A^{1/3}}{a'}$$

χ_π - приведенная комптоновская длина волны π -мезона;

\vec{l} - орбитальный момент в единицах \hbar ;

$\vec{\sigma}$ - величина, связанная со спином тритона соотношением $\vec{\sigma} = 2\vec{s}$ где \vec{s} - спин протона в единицах \hbar ;

$U_c(r)$ - кулоновский потенциал однородно-заряженной сферы радиуса $r_c A^{1/3}$.

Расчеты проводились на электронно-вычислительной машине БЭСМ-4 по программе /7/. В расчетах использовалось приближение нулевого радиуса взаимодействия с локальным потенциалом без применения радиального обрезания. Волновая функция связанного состояния протона вычислялась в потенциале Вудса-Саксона с параметрами приведенного радиуса $r_0 = 1,25 f_m$, диффузностью $a = 0,65 f_m$ и спин-орбитальным членом в форме Томаса /8/ с $\kappa = 25$. Глубина потенциальной ямы подгонялась таким образом, чтобы обеспечить правильное значение энергии связи протона в ядре ^{15}N . В расчете БПИВ предполагался подхват протона в состоянии $1p_{1/2}$. Представленные в таблице III параметры для входного канала /тритонный потенциал/ взяты из работы /9/, для выходного / a - потенциал/ - наиболее глубокий

Таблица III

Частица	V МэВ	$r_0 v$ f_m	σ_v f_m	r^ℓ f_m	$M_{\text{эв}}$	r^ψ f_m	σ_ψ f_m
ℓ	150	0,99	0,829	1,4	1,6	1,81	0,592
α	185	1,375	0,555	1,2	8,3	1,375	0,555

потенциал, опубликованный в работе /10/, измененный на-
ми в соответствии с соотношением $V r_0^n = \text{Const}$,
указанном, например, в работе /11/.

Расчет дифференциального сечения по методу Хау-
зера-Фешбаха проводился на БЭСМ-4. Используемые в
расчете $\sigma^{\text{Х-Ф}}$ значения коэффициентов трансмиссии
 $T_\ell = 1 - |\eta_\ell|^2$ /где η_ℓ - коэффициент отражения ℓ -
парциальной волны/ были получены из расчетов по про-
грамме БПИВ с использованием тех же оптических па-
раметров, которые используются при описании реакции
подхвата. Значение параметра отсечки по спину σ ,
используемое в расчетах $\langle \sigma^{\text{Х-Ф}} \rangle$, получено расчетным
путем согласно работе /4/, и равно ≈ 2 .

На рисунке 5 представлены угловые распределения
реакции $^{15}\text{N}(t, a_0) ^{14}\text{C}$ при двух значениях энергии.
Сплошные кривые представляют расчетные угловые рас-
пределения, полученные по формуле /1/. На этом же рисун-
ке представлены угловые распределения, рассчитанные
по методу Хаузера-Фешбаха. Полученное, согласно урав-
нению /1/, значение экспериментального спектроскопиче-
ского фактора, а также его теоретическое значение, взя-
тое из работы /12/, представлены в таблице IV. В этой
же таблице в целях сравнения приведены данные экспери-
ментальных спектроскопических факторов, относящихся
к зеркальной реакции $^{15}\text{N}({}^3\text{He}, a_1) ^{14}\text{N}^*$ /6, 15, 16/. Как
видно из таблицы, экспериментальные спектроскопиче-
ские факторы, полученные в нашей работе, значительно
больше теоретических. Они также больше эксперименталь-
ных спектроскопических факторов для зеркальной реакции
 $^{15}\text{N}({}^3\text{He}, a_1) ^{14}\text{N}^*$. В целях выяснения причин столь
сильного несогласия, дополнительно был проведен анализ
угловых распределений реакции $^{14}\text{N}(t, a_0) ^{13}\text{C}$, взя-
тых из /13/, с привлечением параметров оптического
потенциала, используемых при исследовании реакции
 $^{15}\text{N}(t, a_0) ^{14}\text{C}$.

Результат подгонки показан на рис. 5, где сплошной
линией нанесены угловые распределения, полученные со-
гласно формуле /1/. Полученные нами значения экспери-
ментальных спектроскопических факторов S представле-
ны в таблице IV. В этой же таблице приведены теорети-

Таблица IV.

Тип реакции	E_t , Мэв	S эксп. Данные настоящей работы и работы /13/ др.раб.	S	S теор.
			эксп.	
$^{15}N(t, \alpha_0) ^{14}C$	1,05 1,51	3,82 6,39	1,50/6/ 1,50/15/ 2,00/15/ 1,50/16/	
$^{14}N(t, \alpha_0) ^{13}C$	1,40 1,88	1,20 1,37	1,38/12/ 1,60/17/ 1,86/19/ 1,98/20/ 1,52/18/ 1,64/21/	

ческие значения S , а также экспериментальные спектроскопические факторы, полученные для реакции $^{14}N(^3He, a) ^{13}N, ^{14}N(p, d) ^{13}N /17, 18/$

Как видно из таблицы, полученные экспериментальные значения спектроскопических факторов для реакции $^{14}N(t, \alpha_0) ^{13}C$ разумно согласуются между собой.

Поскольку обе реакции измерялись при мало отличающихся друг от друга энергиях, имеют близкие значения Q и одинаковые значения ℓ, j для подхваченной частицы, и так как при описании их БПИВ, используются одни и те же параметры оптических потенциалов, несогласие в канале $^{15}N(t, \alpha_0) ^{14}C$, по-видимому, вызвано неудачным выбором комбинаций оптических параметров, а существенным вкладом других механизмов реакции. Поскольку ядро ^{15}N не является a -кластерным ядром /обменные механизмы играют небольшую роль/ большие значения сечения реакции /и, следовательно, завышенные значения спектроскопического фактора/ следует приписывать большой роли в реакции $^{15}N(t, \alpha_0) ^{14}C$ определенных уровняй составного ядра O . Такая точка зрения возникла на основании полученных нами предварительных результатов по исследованию зеркальной реакции $^{15}N(^3He, a_1) ^{14}N^*$, где большое сечение связано с широким "резонансом" /ширина $\approx 0,9$ Мэв/, наблюдаемым в диапазоне энергий $E_{^3He}$ от 2 до 4 Мэв. /Данные по этой реакции будут опубликованы/.

Авторы благодарны И. Тыкэ за помощь в обработке экспериментальных результатов и М. В. Савенковой - за приготовление газовых мишеней. Авторы благодарят С. Хойнацкого за интерес к работе и помощь.

Литература

- Г. М. Осетинский, Цзей Пай Гун, Н. А. Чепурченко. Препринт ОИЯИ, 1172, Дубна, 1961.
- А. П. Кобзев, В. И. Салацкий, С. А. Тележников. Ядерная физика, т. 3 /1966/ стр. 1060.
- Я. Тыкэ, И. Тыкэ, Б. Сикора. ОИЯИ, Б2 15-61, Дубна, 1971.

4. P.E.Hodson. *Nuclear Reactions and Nuclear Structure*, Clarendon Press, Oxford, 1971.
5. P.H.Bassel. Proc. Symp. on Direct Reactions with ^3He (September, 1967, Tokyo IPCR Cyclotron Progress Report Supplement).
6. W.Bonne, H.Homeyer, H.Lettau, H.Morgenstern, J.Scheer, F.Sichelschmidt. *Nucl.Phys.*, A154, 105 (1970).
7. К.А.Гридинев, Л.В.Краснов, И.Н.Кухтана, В.К.Лукьянин, В.И.Никитина, В.И.Фурман. ОИЯИ, 2458, Дубна, 1965.
8. B.Mertens, G.Mayer-Boricke, H.Kattenborn. *Nucl.Phys.*, A158, 97 (1970).
9. G.H.Herling, L.Cohen, J.D.Silverstein. *Phys.Rev.*, 178, 151 (1969).
10. B.T.Lucas, D.R.Ober, O.E.Johnson. *Phys.Rev.*, 167, 990 (1968).
11. L.Mc.Fadden and G.R.Satchler. *Nucl.Phys.*, 84, 177 (1966).
12. S.Cohen, D.Kurath. *Nucl.Phys.*, A101, 1 (1967).
13. R.B.Schwardz, H.D.Holmgren, L.M.Cameron, A.R.Knudson. *Phys.Rev.*, 134, B577 (1964).
14. J.Nurzynski. *Nucl.Phys.*, A141, 257 (1970).
15. G.C.Ball, J.Cerny. *Phys.Lett.*, 21, 57 (1966).
16. L.Snelgrove, E.Kashy. *Phys.Rev.*, 187, 1259 (1969).
17. R.L.Kozub, L.A.Kull, E.Kashy. *Nucl.Phys.*, A99, 540 (1967).
18. D.Bachelier, M.Bernas, I.Brissand, P.Radvanyi, M.Ray. *Nucl.Phys.*, 88, 307 (1966).
19. W.W.True. *Phys.Rev.*, 130, 1530 (1963).
20. M.A.Nagarayan. *Nucl.Phys.*, 42, 454 (1963).
21. G.Ripka, B.Girard.

Частное сообщение, упомянуто в работе^{/17/}

Рукопись поступила в издательский отдел
3 мая 1973 года.

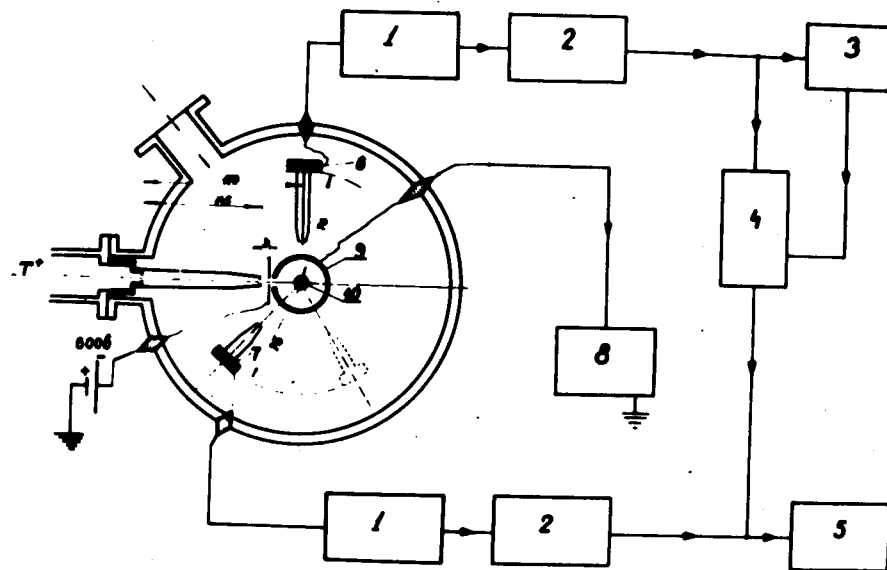


Рис. 1а. Схема опыта. 1 - предусилитель; 2 - усилитель; 3 - дискриминатор; 4 - пропускатель; 5 - амплитудный анализатор АИ-128; 6 - монитор; 7 - детектор; 8 - интегратор тока; 9 - экран; 10 - точечная мишень.

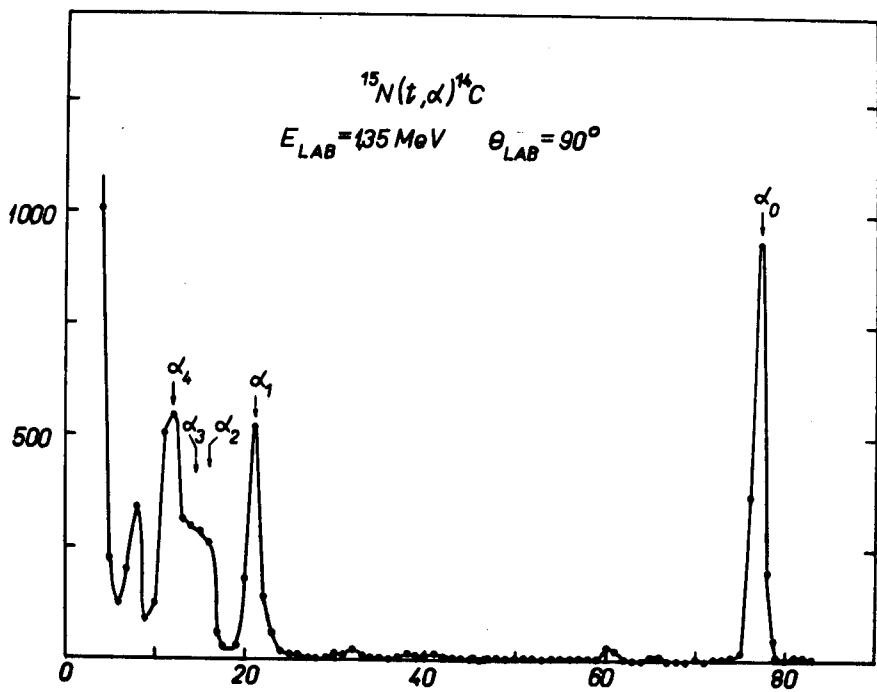


Рис. 16. Типичный спектр α -частиц из реакции $^{15}\text{N}(t, \alpha)^{14}\text{C}$ под углом 45° на "длинной" мишени $E_t = 1,35 \text{ МэВ}$.

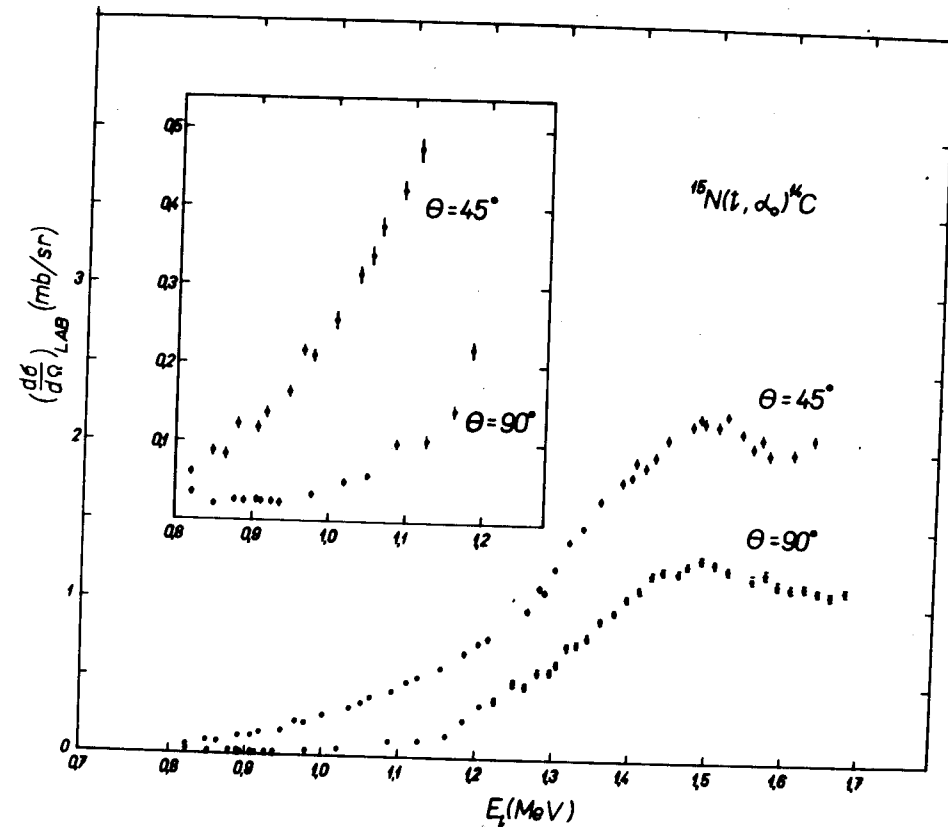


Рис. 2. Дифференциальные сечения реакции $^{15}\text{N}(t, \alpha_0)^{14}\text{C}$ для углов 45° и 90° в лабораторной системе координат в интервале энергий $E_t = 0,82 - 1,62 \text{ МэВ}$.

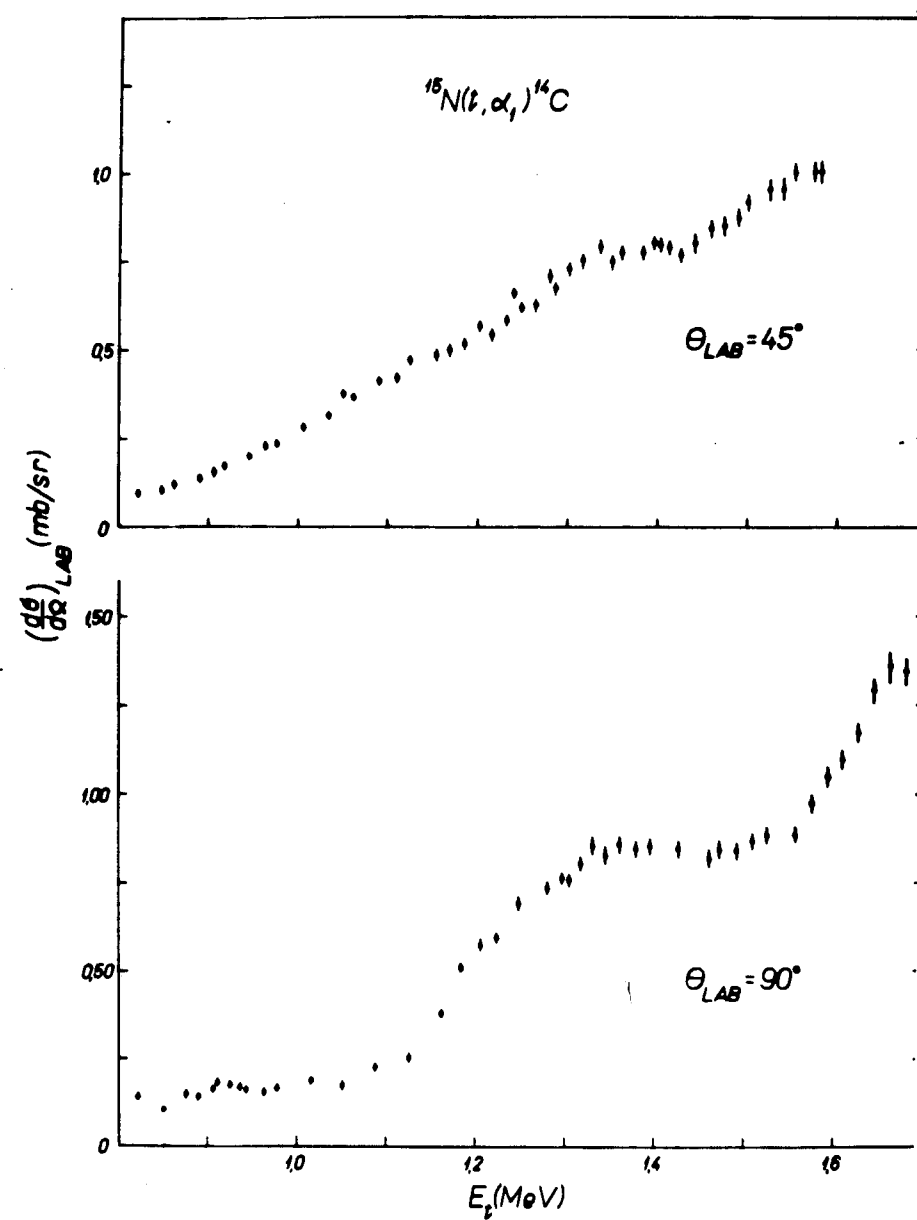


Рис. 3. Дифференциальные сечения $^{15}\text{N}(t, \alpha_1)^{14}\text{C}^*$ для углов 45° и 90° в л.с.к. в интервале энергий $E_t = 0,82 - 1,62$ МэВ.

18

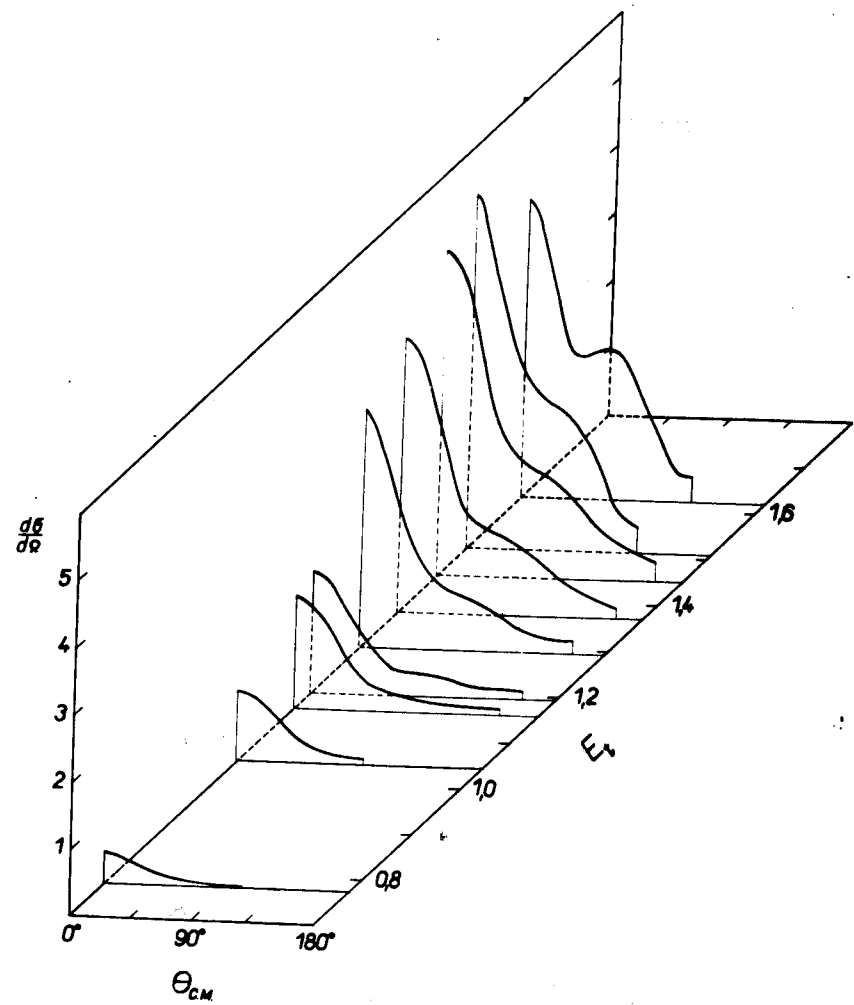


Рис. 4. Угловые распределения α -частиц из реакции $^{15}\text{N}(t, \alpha_0)^{14}\text{C}$. По оси абсцисс - угол в системе центра масс. По оси ординат - дифференциальные сечения в мб/стераид.

19

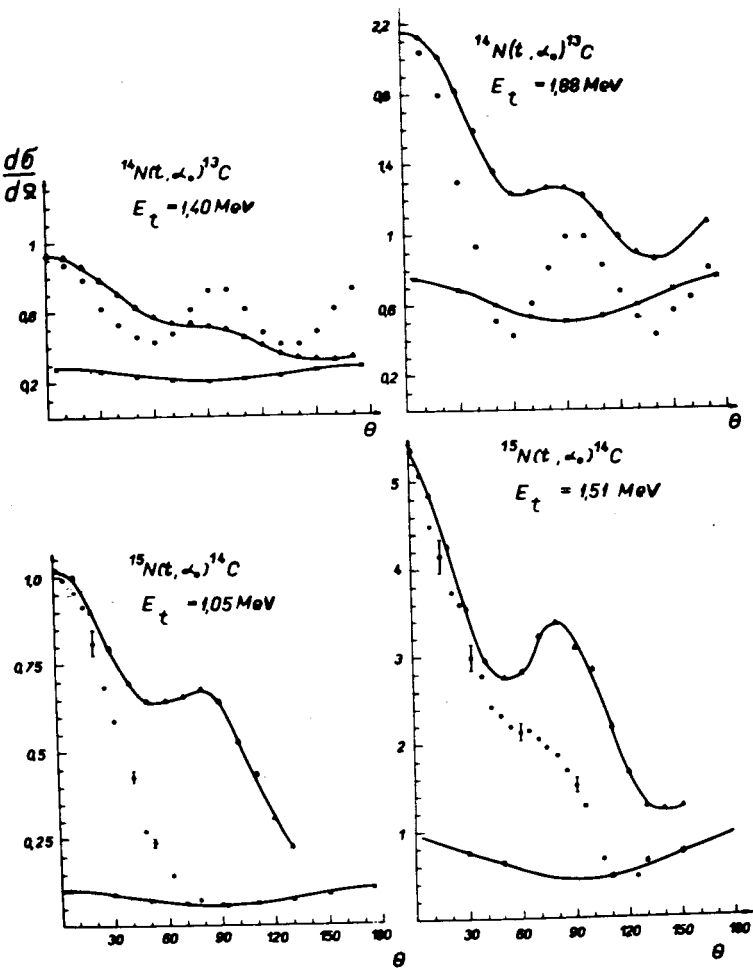


Рис. 5. Сравнение экспериментальных угловых распределений реакций $^{14}N(t, \alpha_0)^{13}C$ / ^{13}C , $^{15}N(t, \alpha_0)^{14}C$ с угловыми распределениями, рассчитанными согласно формуле /1/. /Сумма вкладов механизма прямого взаимодействия и механизма составного ядра, учитываемого методом Хаузера-Фешбаха/. Обозначения: \circ - экспериментальные данные, Δ - кривая, полученная по формуле 1, \times - вклад в сечение механизма составного ядра, учитываемый методом Хаузера-Фешбаха. По оси абсцисс - угол в системе центра масс. На оси ординат - дифференциальное сечение в мб/стераид в этой же системе.